

東京大学地震研究所 正員 飯田昌弘

**1. 目的** 本研究は、1観測点（1成分でよい）で得られた微小地震の波形解析により、浅い構造の不均質性や地震危険度を評価するものである。この方法は、（A）観測点周囲の状態を2次元・3次元的に評価できる、（B）正確な理論的背景をもつ、などボーリング探査や微動測定にない長所をもっている。

**2. 方法の背景** 地下構造中に不均質媒質が存在すると、波の散乱（反射・屈折）が起こり、直接波のあとにコーダ波（後続相）を生じる（図-1）。つまり、コーダ波は、不均質情報を含んでいる。1969年の安芸<sup>1)</sup>の研究以来、“コーダ部は、さまざまな経路の波の集合ゆえ、どの記録でもよく似ており、不均質は空間的に一様である”、と仮定する統計的方法が使われてきた。これに対し、コーダ部から空間的不均質を推定しようとする決定論的方法は、ここ5年間のものである。その方法には、（A）センブランス解析（例えは2）、（B）F-K解析（例えは3）、（C）我々の波形散乱逆解析<sup>4)</sup>がある。

**3. 方法** Spudichと飯田による波形散乱逆解析<sup>4)</sup>を用いる。波形解析なので、情報を最も効率的に使用しており、その結果、1観測点（1成分）での記録があればよいので、多くのケースに適用できる。工学的に重要な、浅い構造（深さ10km程度まで）と1Hz以上の高周波成分を対象にした、唯一の方法である。相反作用の定理（図-2）を使用する。観測点に作用させた点震源（1次震源）からある未知の波が放射され、予め位置が仮定された散乱源に到達する。この入射波に対応して、散乱源から放射された波が地震震源まで伝播する。つまり定理により、観測点にある1次震源に対し、複数の地震震源が観測点アレイを形成する。ここで散乱源を、力とモーメント（ともに時間関数）で表現できる2次震源とみなし、そのアレイ観測波形を使用して、各2次震源の力とモーメントを求め、さらに各2次震源を1つのスカラー量（散乱パワーと呼ぶ）で表す。この際、観測点における1次震源は考えない。水平多層構造を仮定し、地震震源と散乱源の間では波線理論を使用し、他方、散乱源と観測点間の波の伝播形態は未知のままでする。

方法の長所は、（1）1観測点（1成分）での観測で、直接観測しない地域の不均質性を推定できる、（2）微小地震の記録は得やすく、また、震源が単純なのでその影響を除去でき、構造の正確な評価ができる、（3）散乱源（2次震源）は、地形効果も含めその周辺の性質を表現しているので、大きな不均質は見のがさない、などである。

**4. 適用例** 方法を、1986年の北パームスプリング地震（アメリカ）の余震群を記録した、3観測点に適用した。水平2成分（速度波形）のS波コーダ部を使用し、周波数範囲は2-4Hzとした。図-3（a）の範囲の地表面に、格子状の16×16個の2km間隔の散乱源（2次震源）を配置した。

観測点SMPのNS成分から得られた散乱パワーを、図-3（a）に示す。パワー分布は観測点に対して非対称であり、西方に大きなピークFが存在する。盆地は図の白い部分に対応し、大きなパワーはここに集まっている。他の2観測点の結果も、これと似ている<sup>4)</sup>。パワー分布に対応する理論波形が図-3（b）である。地震（観測記録）によってばらつきはあるが、観測点の地点応答とピークFからの散乱波の寄与が、ともに大きい。

**5. 応用** （A）3観測点の結果が互いに矛盾せず、（B）この地域の表層地質と調和していることから、方法の有効性が示された。観測点間隔が20km程度以下ならば、連続した構造の不均質情報が得られる。本方法は、以下のように応用できる。

(1) 図-3(a)のように、浅い構造の不均質情報が得られる。この情報は、正確な強震動予測に役立つ。また、ピークFの存在は、水平に伝播する波を示しており、波動伝播の情報も得られる。

(2) 図-3(b)のように、特定の地震波形から、地点応答を評価(分離)できる。

(3) 散乱パワーの大きさは、その地点からくる波の寄与を示している。すなわち、その地点での波の増幅を示している。従って、図-3(a)を補正すれば、地震危険度地図を作製できる。それは、点の情報ではなく、空間的に平滑化された情報である。

参考文献 1) Aki, K., J. Geophys. Res., Vol. 74, pp. 615-631, 1969.

2) Lay, T., Bull. Seism. Soc. Am., Vol. 77, pp. 1767-1783, 1987.

3) McLaughlin, K. L. and Jih, R. S., Bull. Seism. Soc. Am., Vol. 78, pp. 1399-1414, 1988.

4) Spudich, P. and Iida, M., Bull. Seism. Soc. Am., (Accepted).

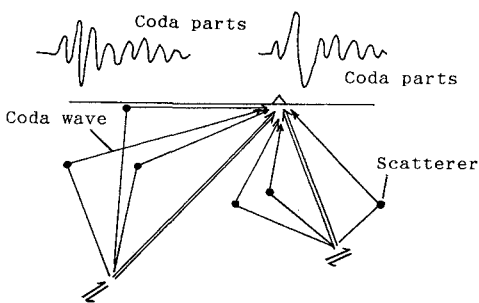


図-1 コーダ波の生成。

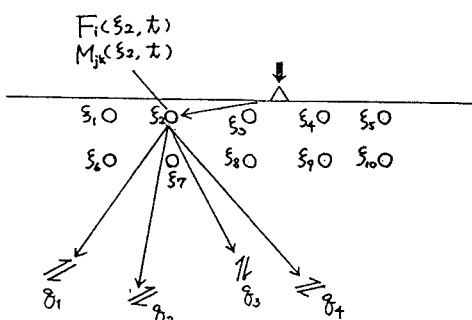


図-2 相反作用の定理に基づく方法の概念。

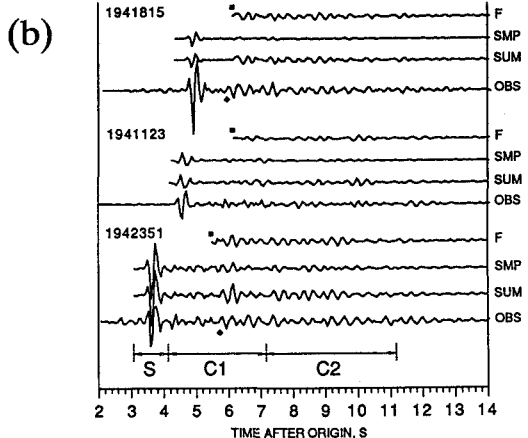
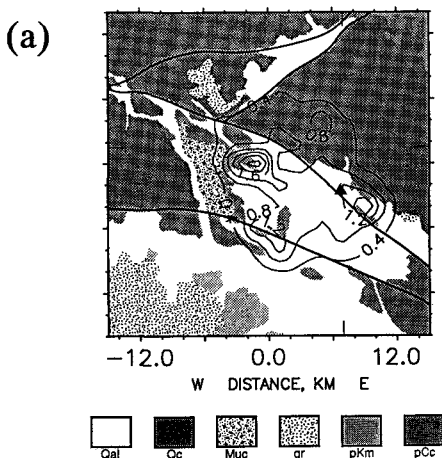


図-3 (a) 北パームスプリング地域の地質図上に重ねられた、観測点SMPのNS成分から得られるコーダパワー分布。▲は観測点SMPを、実線は断層を示す。地質記号は、(Qa1) 第4紀沖積層、(Qc)沈殿層、(Muc) 岩盤、(gr)花こう岩、(pkm) 变成岩と水成岩の混合、(pCc) 火成岩と变成岩の混合、である。

(b) 同成分の波形記録“OBS”に対する、地点応答“SMP”と強い散乱源“F”による貢献度。“SUM”は“F”と“SMP”を合成した地動を示す。